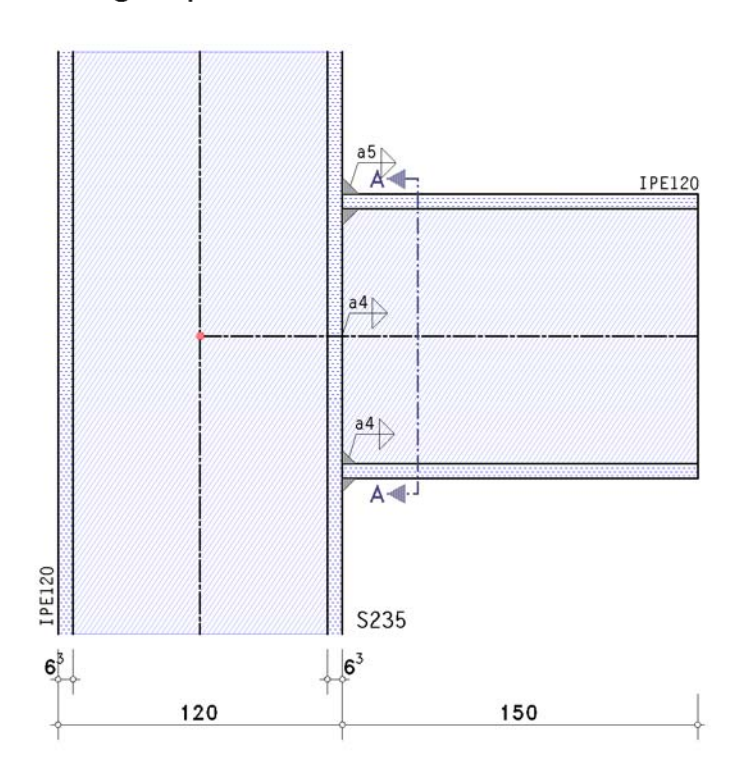
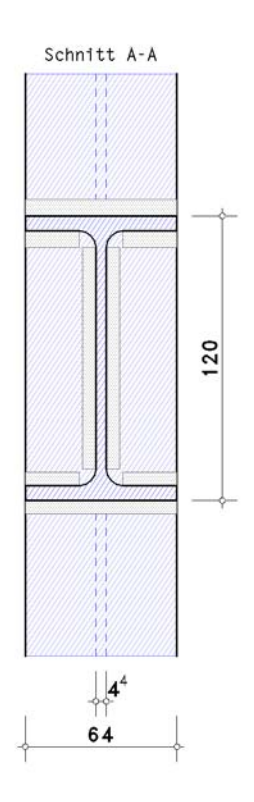
Konsole EC 3-1-8 (12.10), NA: Deutschland

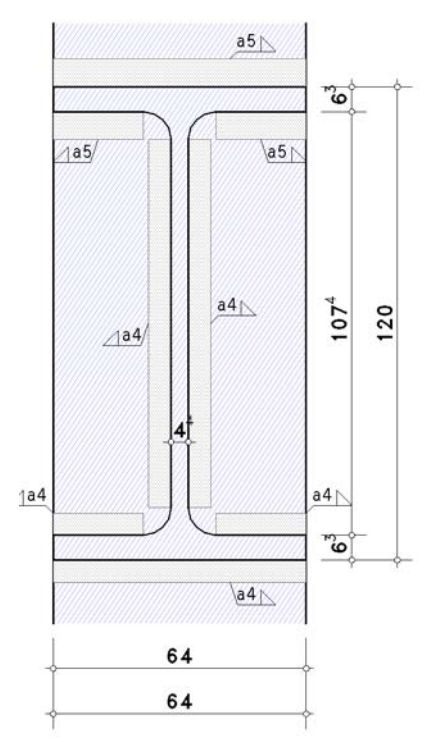
Eingabeprotokoll





4H-EC3SK Version: 6/2025-1b

Details (Schnitt A - A)



Stahlsorte

Stahlgüte S235

Parameter der Stütze

Profil IPE120

Parameter des Trägers

Profil IPE120

Schweißnähte

Trägerflansch oben: Kehlnaht, Nahtdicke a = 5.0 mm

Trägersteg: Kehlnaht, Nahtdicke a = 4.0 mm

Trägerflansch unten: Kehlnaht, Nahtdicke a = 4.0 mm 75% der Druckspannung wird über Kontakt abgetragen



Parameter der Verbindung

geschweißter Anschluss

Abstand der Querbelastung ∆a = 130.0 mm

Nachweis der Lasteinleitung:

Querbelastung auf dem Obergurt der Konsole mit der Lasteinleitungslänge ss = 30.0 mm

Nachweis der Ermüdung:

Schadensäquivalenzfaktoren $\lambda_{\sigma} = 1.000$, $\lambda_{\tau} = 1.000$

Ermittlung der Tragfähigkeiten

Nachweis der Konsole-Stützenverbindung, Grenzzustand der Tragfähigkeit (GZT)

Nachweis der Lasteinleitung, Trägerkreuzung, Grenzzustand der Tragfähigkeit (GZT)

Ermüdungsnachweise der Verbindung sowie des Konsolprofils, Grenzzustand der Ermüdung (GZE)

Konsolbelastung und Schnittgrößen im Schnittpunkt der Systemachsen (GZT)

Lk	$F_{1,Ed}$
	kΝ
1	40.00

F_{1.Ed}: Belastung der Konsole

Konsolbelastung (GZE)

Lk	F1,Ed
	kN
1	5.00
2	15.00

F_{1,Ed}: Belastung der Konsole

Materialsicherheitsbeiwerte (GZT)

Beanspruchbarkeit von Querschnitten $\gamma_{M0} = 1.00$

Beanspruchbarkeit von Bauteilen bei Stabilitätsversagen γ_{M1} = 1.10

Beanspruchbarkeit von Schrauben, Schweißnähten, Blechen auf Lochleibung $\gamma_{M2} = 1.25$

Materialsicherheitsbeiwert (GZE)

Bemessungskonzept: Schadenstoleranz, Schadensfolgen: hoch ⇒ Ermüdungsfestigkeit γMf = 1.15

2. Nachweise

2.1. Ergebnistabelle (GZT)

2.1.1. Ausnutzungen

	. ,	90								
Lk	Uj	Ū1	Uj,b	$U_\mathtt{j,\sigma}$	Uj,τ	Uj,w	U1,σ	U1,b	Uı,i	U
1	0.696	0.884	0.640	0.696	0.594	0.448	0.828	0.575	0.884	0.884*

Uj; res. Ausnutzung aus Träger-Stütze-Anschluss; Ui; res. Ausnutzung aus Lasteinleitung; Uj,b: Querschnittsausnutzung Träger Uj̇̃,ວ: Ausnutzung aus Biegung; Uj͵τ: Ausnutzung aus Querkraft; Uj͵w: Ausnutzung aus Schweißnaht

Ul.թ: Ausnutzung aus Spannungen am Steganschnitt; Ul.թ: Ausnutzung aus Querlastbeulen; Ul.թ: Ausnutzung aus Interaktion U: Ausnutzung der Verbindung

*) maximale Ausnutzung

2.2. Anschluss an die Stütze (GZT)

Biegesteifer Trägeranschluss EC 3-1-8 (12.10), NA: Deutschland

Datencheck

ok

2.2.1. Ergebnistabelle

Ausnutzung

Lk	U _{o,b}	Um	U_{wp}	U_{cf}	U_{sb}	U
				= = =		
1	0.640	0.696	0.594	0.501	0.448	0.696*

 $U_{\alpha,b}$: Spannungsausnutzung am Träger; U_m : Ausnutzung aus Biegung; U_{wp} : Ausnutzung aus Schub im Stützensteg U_{cf} : Ausnutzung aus Schub im Stützenflansch; U_{sb} : Ausnutzung aus Schweißnaht; U: Ausnutzung der Verbindung *) maximale Ausnutzung

2.2.2. Endergebnis

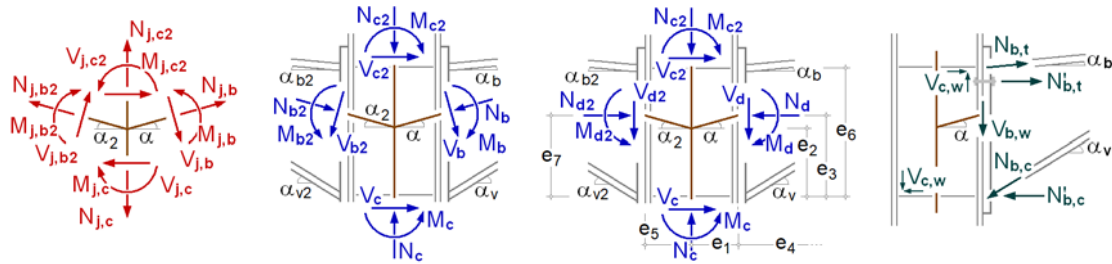
Maximale Ausnutzung: max U = 0.696 < 1 ok

2.2.3. Lk 1 (maßgebend)

2.2.3.1. Bemessungsgrößen

Knotenschnittgrößen Anschnitt Anschluss ⊥ zur Anschlussebene

Teilschnittgrößen



Neigungswinkel: $\alpha_b = \alpha = \alpha_v = 0^\circ$

Abstände: $e_1 = 60.0 \text{ mm}$, $e_3 = 56.8 \text{ mm}$, $e_2 = 56.8 \text{ mm}$, $e_6 = 113.7 \text{ mm}$

Schnittgrößen senkrecht zu den Anschlussebenen

Anschnitt Träger

 $M_d = 5.20 \text{ kNm}, V_d = 40.00 \text{ kN}$

Teilschnittgrößen

 $N_{b,t} = -N_{d} \cdot z_{bu}/z_b + M_{d}/z_b = 45.73 \text{ kN}, \ z_b = 113.7 \text{ mm}, \ z_{bu} = 56.9 \text{ mm}$

 $N_{b,c} = N_{d} \cdot z_{bo}/z_b + M_{d}/z_b = 45.73 \text{ kN}, z_b = 113.7 \text{ mm}, z_{bo} = 56.9 \text{ mm}$

 $V_{b,t} = -N_{b,t} \cdot \sin(\alpha_b) = 0.00 \ kN, \quad V_{b,c} = N_{b,c} \cdot \sin(\alpha_V) = 0.00 \ kN, \quad V_{b,w} = V_d - V_{b,t} - V_{b,c} = 40.00 \ kN, \quad V_{b,w} = V_d - V_{b,t} - V_{b,c} = 40.00 \ kN, \quad V_{b,w} = V_d - V_{b,t} - V_{b,c} = 40.00 \ kN, \quad V_{b,w} = V_d - V_{b,t} - V_{b,c} = 40.00 \ kN, \quad V_{b,w} = V_d - V_{b,t} - V_{b,c} = 40.00 \ kN, \quad V_{b,w} = V_d - V_{b,t} - V_{b,c} = 40.00 \ kN, \quad V_{b,w} = V_d - V_{b,t} - V_{b,c} = 40.00 \ kN, \quad V_{b,w} = V_d - V_{b,t} - V_{b,c} = 40.00 \ kN, \quad V_{b,w} = V_d - V_{b,t} - V_{b,c} = 40.00 \ kN, \quad V_{b,w} = V_d - V_{b,t} - V_{b,c} = 40.00 \ kN, \quad V_{b,w} = V_d - V_{b,t} - V_{b,c} = 40.00 \ kN, \quad V_{b,w} = V_d - V_{b,t} - V_{b,c} = 40.00 \ kN, \quad V_{b,w} = V_d - V_{b,t} - V_{b,c} = 40.00 \ kN, \quad V_{b,w} = V_d - V_{b,t} - V_{b,c} = 40.00 \ kN, \quad V_{b,w} = V_d - V_{b,t} - V_{b,c} = 40.00 \ kN, \quad V_{b,w} = V_d - V_{b,t} - V_{b,c} = 40.00 \ kN, \quad V_{b,w} = V_d - V_{b,t} - V_{$

2.2.3.2. Querschnittstragfähigkeit im Anschnitt

elastischer Spannungsnachweis für My = -5.20 kNm, Vz = 40.00 kN

Nachweis: $\sigma_V = 150.35 \text{ N/mm}^2 < \sigma_{V,Rd} = 235.00 \text{ N/mm}^2 \Rightarrow U_{\sigma} = 0.640 < 1 \text{ ok}$

c/t-Verhältnis: einseitig gestützt: Ausnutzung Uc/t = 0.165 < 1 ok

beidseitig gestützt: Ausnutzung Uc/t = 0.098 < 1 ok

2.2.3.3. Anschlusstragfähigkeit

Übertragungsparameter: $\beta_i = 1.00$

2.2.3.3.1. Biegetragfähigkeit

Abstand der Zugkraft vom Druckpunkt: z = 113.7 mm

Tragfähigkeit

 $F_{Rd} = 65.7 \text{ kN}$

Tragfähigkeit der Flansche (Druck)

 $\Sigma F_{c,Rd}^* = 131.4 \text{ kN}$

Biegetragfähigkeit

 $M_{j,Rd} = F_{Rd} \cdot z = 7.5 \text{ kNm}$

Zugtragfähigkeit

 $N_{i,t,Rd} = F_{t,Rd} = 73.9 \text{ kN}$

Drucktragfähigkeit

 $N_{j,c,Rd} = \Sigma F_{c,Rd}^* = 131.4 \text{ kN}$

2.2.3.3.2. Schubtragfähigkeit

Schubtragfähigkeit des Stützenflanschs

 $V_{cf,Rd} = 79.84 \text{ kN}$

Schubtragfähigkeit des Stützenstegs

 $V_{wp,Rd} = 77.0 \text{ kN}$

2.2.3.3.3. Gesamt

 $M_{j,Rd} = 7.5 \text{ kNm}$ $N_{j,t,Rd} = 73.9 \text{ kN}$ $N_{j,c,Rd} = 131.4 \text{ kN}$ $V_{wp,Rd} = 77.0 \text{ kN}$ $V_{cf,Rd} = 79.8 \text{ kN}$

2.2.3.4. Nachweise

2.2.3.4.1. Nachweis der Anschlusstragfähigkeit mit der Komponentenmethode

Biegemoment: MEd = Md = 5.20 kNmQuerkraft: $V_{Ed} = |V_d| = 40.00 \text{ kN}$

Schubkraft: $V_{c,w,Ed} = M_d/z - (V_{c1}-V_{c2})/2 = 45.73 \text{ kN}, z = 113.7 \text{ mm}$

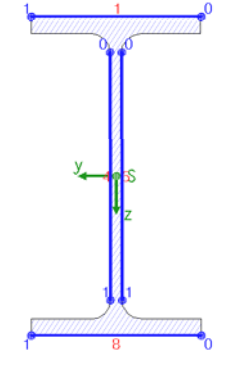
Schubkraft: $V_{b,w,Ed} = 40.00 \text{ kN}$

 $Med/Mi_{i,Rd} = 0.696 < 1 ok$

 $V_{c,w,Ed}/V_{wp,Rd} = 0.594 < 1 ok$

2.2.3.4.2. Nachweis der Schweißnähte am Trägerprofil

Naht 1: Trägerflansch mit Zug außen Nähte 2,3: Trägerflansch mit Zug innen Nähte 4,5: Trägersteg beidseitig Nähte 6,7: Trägerflansch mit Druck innen Naht 8: Trägerflansch mit Druck außen Naht 1: Nahtdicke a = 5.0 mm > a_{max} = 0.7·t_{min} = 4.4 mm (Schweisstechnik, s. DIN 18800) !! Naht 2: Nahtdicke a = 5.0 mm > a_{max} = 0.7·t_{min} = 4.4 mm (Schweisstechnik, s. DIN 18800) !! Naht 2: wirksame Nahtlänge leff = 22.8 mm < 30 mm ⇒ statisch nicht wirksam !! Naht 2: wirksame Nahtlänge leff = 22.8 mm < 6·a = 30.0 mm ⇒ statisch nicht wirksam !! Naht 4: Nahtdicke a = 4.0 mm > a_{max} = 0.7·t_{min} = 3.1 mm (Schweisstechnik, s. DIN 18800) !! Naht 6: wirksame Nahtlänge leff = 22.8 mm < 30 mm ⇒ statisch nicht wirksam !! Naht 6: wirksame Nahtlänge leff = 22.8 mm < 6·a = 24.0 mm ⇒ statisch nicht wirksam !! Berechnungsquerschnitt:



Naht 1: $a_w = 5.0 \text{ mm}$ $l_{\rm W} = 64.0 \ {\rm mm}$ Naht 4: $a_w = 4.0 \text{ mm}$ $l_w = 93.4 \text{ mm}$ siehe Naht 4 Naht 5: $a_w = 4.0 \text{ mm}$ Naht 8: $l_w = 64.0 \text{ mm}$

Bemessungsgrößen bezogen auf den Schwerpunkt des Profils:

 $M_{y,Ed} = -5.20 \text{ kNm}, \ V_{z,Ed} = 40.00 \text{ kN}$

Querschnittswerte bezogen auf den Schwerpunkt des Linienquerschnitts:

 $\Sigma A_w = 13.23 \text{ cm}^2$, $A_{w,z} = 7.47 \text{ cm}^2$, $\Sigma I_w = 31.5 \text{ cm}^2$ $I_{w,v} = 260.56 \text{ cm}^4$, $I_{w,z} = 20.02 \text{ cm}^4$, $\Delta z_w = -2.9 \text{ mm}$

Nachweise in den Endpunkten der Nähte:

75% Spannungsabtrag über Druckkontakt

Naht 1, Pkt. 0: $\sigma_{w,x} = 113.95 \text{ N/mm}^2$ \Rightarrow U_w = 0.448 < 1 ok Naht 4, Pkt. 0: $\sigma_{w,x} = 87.41 \text{ N/mm}^2$ $\tau_{W,z} = 53.53 \text{ N/mm}^2$ \Rightarrow U_w = 0.429 < 1 ok Pkt. 1: $\sigma_{w,x} = -24.75 \text{ N/mm}^2$ $\tau_{w,z} = 53.53 \text{ N/mm}^2$ \Rightarrow U_w = 0.275 < 1 ok Pkt. 0: $\sigma_{w,x} = -31.38 \text{ N/mm}^2$ \Rightarrow U_w = 0.123 < 1 ok Naht 8,

Ergebnis:

Naht 1, Pkt. 0: $\sigma_{w,x} = 113.95 \text{ N/mm}^2$

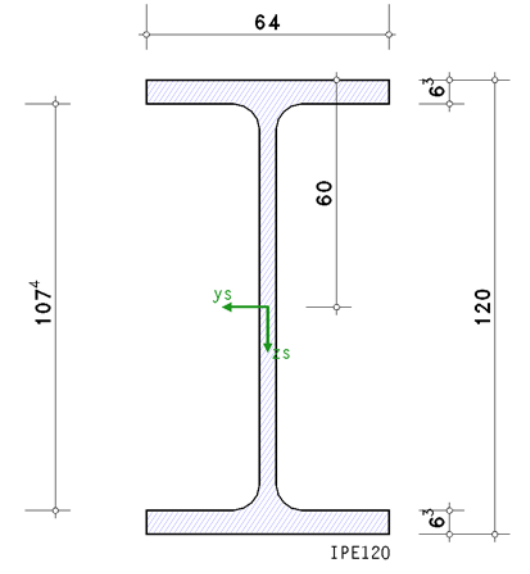
Max: $\sigma_{1,w,Ed} = 161.15 \text{ N/mm}^2 < f_{1w,d} = 360.00 \text{ N/mm}^2$, $\sigma_{2,w,Ed} = 80.57 \ N/mm^2 \ < \ f_{2w,d} = 259.20 \ N/mm^2 \ \Rightarrow \ U_w = 0.448 \ < \ 1 \ \ ok$

2.2.3.4.3. Nachweisergebnis

Maximale Ausnutzung: max U = 0.696 < 1 ok

2.3. Lasteinleitung in die Konsole (GZT)

Sonderprobleme nach Eurocode 3 EC 3-1-5 (10.19), NA: Deutschland



Voraussetzung: Flanschinduziertes Stegbeulen ist ausgeschlossen.

Voraussetzung: Platten-/Schubbeulen ist ausgeschlossen.

2.3.1. Ergebnistabelle

Lk	Fz,Ed	V Ed	U_{σ}	U_b	Ui	U
	kΝ	kΝ				
1	40.00	40.00	0.828	0.575	0.884	0.884*

Fz.Ed: vertikale Einzellast aus einem Lastträger; VEd: Bemessungsgrößen im Querschnitt; Ug: Ausnutzung aus Spannungen am Steganschnitt Ub: Ausnutzung aus Querlastbeulen; Ui: Ausnutzung aus Interaktion; U: Ausnutzung aus Lasteinleitung *) maximale Ausnutzung

2.3.2. Endergebnis

Maximale Ausnutzung [Lk 1]: max U = 0.884 < 1 ok

2.3.3. Lk 1 (maßgebend)

Querschnittswerte: $A = 13.21 \text{ cm}^2$, $z_s = 60.0 \text{ mm}$, $l_y = 317.76 \text{ cm}^4$, $y_s = 0.0 \text{ mm}$, $l_z = 27.67 \text{ cm}^4$

Lasteinzugsbreite durch den Träger ss' = 2·tf + tw + 1.172·r = 25.2 mm

Zur Info: Lagerpressung Fz,Ed,GZT/(Ss·Ss') = 52.91 N/mm²

wirksame Lasteinleitungslänge leff = ss + 2·tf = 42.6 mm

Länge der starren Lasteinleitung:

bezogen auf die Flanschaußenkante ss = leff - 2·tf = 30.0 mm / auf den Steganschnitt sw = leff + 2·r = 56.6 mm

2.3.3.1. Stegpressung (GZT)

zulässige Spannungen: $\sigma_{Rd} = f_y/\gamma_{M0} = 235.0 \text{ N/mm}^2$, $\tau_{Rd} = f_y/(3^{1/2} \cdot \gamma_{M0}) = 135.7 \text{ N/mm}^2$

Einzellastpressung am Steganschnitt:

lokale Spannungen Goz, Ed = -160.6 N/mm2

 $|\sigma_{oz,Ed}| = 160.6 \text{ N/mm}^2 < \sigma_{Rd} = 235.0 \text{ N/mm}^2 \Rightarrow U = 0.683 < 1 \text{ ok}$

Spannungen am Steganschnitt:

Querbelastung Fz,Ed = 40.0 kN

Schubbeulen: $h_p/t_p = 24.41 \le 72 \cdot \epsilon/\eta = 60.00$ ok

 $Lk 1: V_{z,Ed} = 40.0 kN$

Spannungen τxz,Ed = 63.4 N/mm²

 $|\tau_{XZ,Ed}| = 63.4 \text{ N/mm}^2 < \tau_{Rd} = 135.7 \text{ N/mm}^2 \implies U = 0.468 < 1 \text{ ok}$

 $\sigma_V = 194.6 \text{ N/mm}^2 < \sigma_{Rd} = 235.0 \text{ N/mm}^2 \Rightarrow U = 0.828 < 1 \text{ ok}$

Ausnutzung am Steganschnitt max $U_{\sigma} = 0.828 < 1$ ok

Maximale Ausnutzung: max U = 0.828 < 1 ok

2.3.3.2. Querlastbeulen (GZT)

Schlankheitsgrad $\lambda_F = (F_y/F_{cr})^{1/2} = 0.326$, $F_y = 76.5$ kN

Abminderungsfaktor $\chi_F = 1.000$

Beulwiderstand $F_{z,Rd} = f_y \cdot L_{eff} \cdot t_w / \gamma_{M1} = 69.59 \text{ kN}, L_{eff} = \chi_F \cdot l_y = 74.0 \text{ mm}, l_y = 74.0 \text{ mm}$

Nachweis: $F_{z,Ed}/F_{z,Rd} = 0.575 < 1$ ok

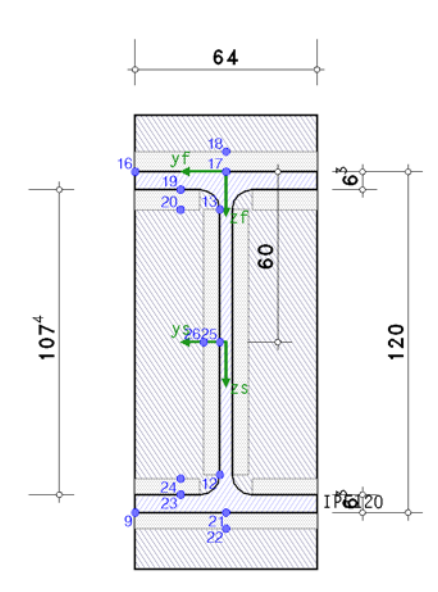
Interaktion (ohne Platten-/Schubbeulen):

Querbelastung und Vergleichsspannung $(\eta_2 + 0.8 \cdot \eta_1) / 1.4 = 0.884 < 1$ ok

mit $\eta_2 = F_{z,Ed}/F_{z,Rd} = 0.575$, $\eta_1 = max U_{\sigma} = 0.828$

2.4. Ermüdung der Verbindung Konsole-Stütze (GZE)

Sonderprobleme nach Eurocode 3 EC 3-1-9 (12.10), NA: Deutschland



Kerbfälle / zul. Kerbspannungen bei N = 2·10⁶ Schwingspielen:

Pkt	Уf	Zf	Δσx,Rd	Δau Rd	∆ σz,Rd	Kerbpunkt	EC 3-1-9, Tab.
	mm	mm	N/mm^2	N/mm^2	N/mm²		
9	32.0	120.0	160.0	0.0	0.0	am Untergurt	8.1(2)
12	2.2	106.7	160.0	100.0	0.0	am Trägersteg	8.1(2) 8.1(6)
13	2.2	13.3	160.0	100.0	160.0	am Trägersteg	8.1(2) 8.1(6) 8.10(1)
16	32.0	0.0	160.0	0.0	0.0	am Obergurt	8.1(2)
° 17	0.0	0.0	36.0	0.0	0.0	am Blech (Obergurt)	8.5(3)
18	0.0	-7.1	80.0	0.0	0.0	am Blech (Obergurt)	8.5(1)
° 19	16.0	6.3	36.0	0.0	0.0	am Blech (Obergurt)	8.5(3)
20	16.0	13.4	80.0	0.0	0.0	am Blech (Obergurt)	8.5(1)
° 21	0.0	120.0	36.0	0.0	0.0	am Blech (Untergurt)	8.5(3)
22	0.0	125.7	80.0	0.0	0.0	am Blech (Untergurt)	8.5(1)
° 23	16.0	113.7	36.0	0.0	0.0	am Blech (Untergurt)	8.5(3)
24	16.0	108.0	80.0	0.0	0.0	am Blech (Untergurt)	8.5(1)
° 25	2.2	60.0	36.0	80.0	0.0	am Blech (Steg)	8.5(3) 8.5(8)
26	7.9	60.0	0.0	100.0	0.0	am Blech (Steg)	8.2(5)

°: Nachweis der Schweißnaht

Belastung

Lk 1: $M_{y,Ed} = -0.65 \text{ kNm}, V_{z,Ed} = 5.00 \text{ kN}$ Lk 2: $M_{y,Ed} = -1.95 \text{ kNm}, V_{z,Ed} = 15.00 \text{ kN}$

2.4.1. Ermüdungsnachweis

Querschnittswerte: $A = 13.21 \text{ cm}^2$, $z_s = 60.0 \text{ mm}$, $l_y = 317.76 \text{ cm}^4$, $y_s = 0.0 \text{ mm}$, $l_z = 27.67 \text{ cm}^4$

Spannungsschwingbreiten:

Pkt. 21: $y_f = 0.0 \text{ mm}, z_f = 120.0 \text{ mm}$ $\Delta \sigma_{x,Ed} = 27.1 \text{ N/mm}^2$

Spannungsschwingbreiten infolge Ermüdung:

Pkt. 21: $y_f = 0.0 \text{ mm}, z_f = 120.0 \text{ mm}$ $\Delta \sigma_{x,f} = 27.1 \text{ N/mm}^2$

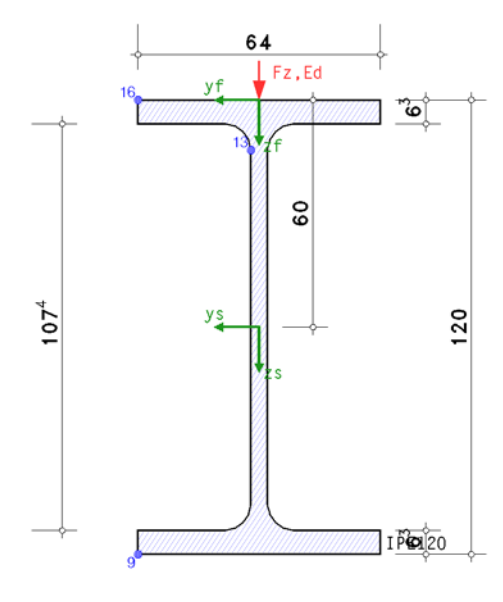
Nachweis der Kerbspannungen:

 $\Delta \sigma_{x,f} = 27.1 \text{ N/mm}^2 < \Delta \sigma_{x,Rd,f} = 31.3 \text{ N/mm}^2 \Rightarrow U_{\Delta \sigma x} = 0.867 \text{ ok}$ Pkt. 21: y = 0.0 mm, z = 120.0 mm

Ermüdungsnachweis [Pkt. 21]: max U = 0.867 < 1 ok

2.5. Ermüdung des Konsolprofils (GZE)

Sonderprobleme nach Eurocode 3 EC 3-1-9 (12.10), NA: Deutschland



Kerbfälle / zul. Kerbspannungen bei N = 2·10⁶ Schwingspielen:

Pkt	y f mm	Zf mm	∆⊙x,Rd N/mm²	Δau Rd N/mm 2	∆ oz,Rd N/mm²	Kerbpunkt	EC 3-1-9, Tab.
9	32.0	120.0	160.0	0.0	0.0	am Untergurt	8.1(2)
13	2.2	13.3	160.0	100.0	160.0	am Trägersteg	8.1(2) 8.1(6) 8.10(1)
16	32.0	0.0	160.0	0.0	0.0	am Obergurt	8.1(2)

Belastung

Lk 1: $V_{z,Ed} = 5.00 \text{ kN}$ Lk 2: $V_{z,Ed} = 15.00 \text{ kN}$

Querbelastung auf dem Obergurt: vertikale Einzellast Fz,Ed = 15.0 kN

2.5.1. Ermüdungsnachweis

Querschnittswerte: $A = 13.21 \text{ cm}^2$, $z_s = 60.0 \text{ mm}$, $l_y = 317.76 \text{ cm}^4$, $y_s = 0.0 \text{ mm}$, $l_z = 27.67 \text{ cm}^4$

wirksame Lasteinleitungslänge $l_{eff} = s_s + 2 \cdot t_f = 42.6 \text{ mm}$... am Trägersteg $\sigma_{oz} = -60.2 \text{ N/mm}^2$, $\tau_o = 12.0 \text{ N/mm}^2$

Spannungsschwingbreiten:

Pkt. 13: $y_f = 2.2 \text{ mm}$, $z_f = 13.3 \text{ mm}$ $\Delta \tau_{Ed} = 42.3 \text{ N/mm}^2$ $\Delta \sigma_{z,Ed} = 60.2 \text{ N/mm}^2$

Spannungsschwingbreiten infolge Ermüdung:

Pkt. 13: $y_f = 2.2 \text{ mm}, z_f = 13.3 \text{ mm}$ $\Delta \tau_f = 42.3 \text{ N/mm}^2$ $\Delta \sigma_{z,f} = 60.2 \text{ N/mm}^2$

Nachweis der Kerbspannungen:

Pkt. 13: y = 2.2 mm, z = 13.3 mm $\Delta \tau_f = 42.3 \text{ N/mm}^2 < \Delta \tau_{Rd,f} = 87.0 \text{ N/mm}^2 \Rightarrow U_{\Delta \tau} = 0.487 \text{ ok}$ $\Delta \sigma_{z,f} = 60.2 \text{ N/mm}^2 < \Delta \sigma_{z,Rd,f} = 139.1 \text{ N/mm}^2 \Rightarrow U_{\Delta \sigma z} = 0.433 \text{ ok}$

Ermüdungsnachweis [Pkt. 13]: max U = 0.487 < 1 ok

3. Endergebnis

Maximale Ausnutzung: max U = 0.884 < 1 ok Lasteinleitung in die Konsole

Nachweis erbracht

4. Vorschriften

EN 1990, Eurocode 0: Grundlagen der Tragwerksplanung; Deutsche Fassung EN 1990:2002 + A1:2005 + A1:2005/AC:2010, Ausgabe Dezember 2010 EN 1990/NA, Nationaler Anhang zur EN 1990, Ausgabe Dezember 2010

EN 1993-1-1, Eurocode 3: Bemessung und Konstruktion von Stahlbauten - Teil 1-1: Allgemeine Bemessungsregeln und Regeln für den Hochbau; Deutsche Fassung EN 1993-1-1:2005 + AC:2009, Ausgabe Dezember 2010 EN 1993-1-1/A1, Ergänzungen zur EN 1993-1-1, Ausgabe Juli 2014 EN 1993-1-1/NA Nationaler Anhang zur EN 1993-1-1. Ausgabe Dezember 2018

EN 1993-1-1/NA, Nationaler Anhang zur EN 1993-1-1, Ausgabe Dezember 2018

EN 1993-1-8, Eurocode 3: Bemessung und Konstruktion von Stahlbauten - Teil 1-8: Bemessung von Anschlüssen;



Deutsche Fassung EN 1993-1-8:2005 + AC:2009, Ausgabe Dezember 2010 EN 1993-1-8/NA, Nationaler Anhang zur EN 1993-1-8, Ausgabe Dezember 2010

EN 1993-1-5, Eurocode 3: Bemessung und Konstruktion von Stahlbauten - Teil 1-5: Plattenförmige Bauteile; Deutsche Fassung EN 1993-1-5:2006 + AC:2009 + A1:2017 + A2:2019, Ausgabe Oktober 2019 EN 1993-1-5/NA, Nationaler Anhang zur EN 1993-1-5, Ausgabe Dezember 2010

EN 1993-1-9, Eurocode 3: Bemessung und Konstruktion von Stahlbauten - Teil 1-9: Ermüdung; Deutsche Fassung EN 1993-1-9:2006 + AC:2009, Ausgabe Dezember 2010 EN 1993-1-9/NA, Nationaler Anhang zur EN 1993-1-9, Ausgabe Dezember 2010